



UNIVERSIDADE FEDERAL DO CEARÁ

CENTRO DE TECNOLOGIA

DEPARTAMENTO DE ENGENHARIA DE TELEINFORMÁTICA

SEMESTRE 2023.2

Trabalho sobre Métodos dos Momentos

ALUNO: João Vitor de Oliveira Fraga

MATRÍCULA: 537377

CURSO: Engenharia de Telecomunicações

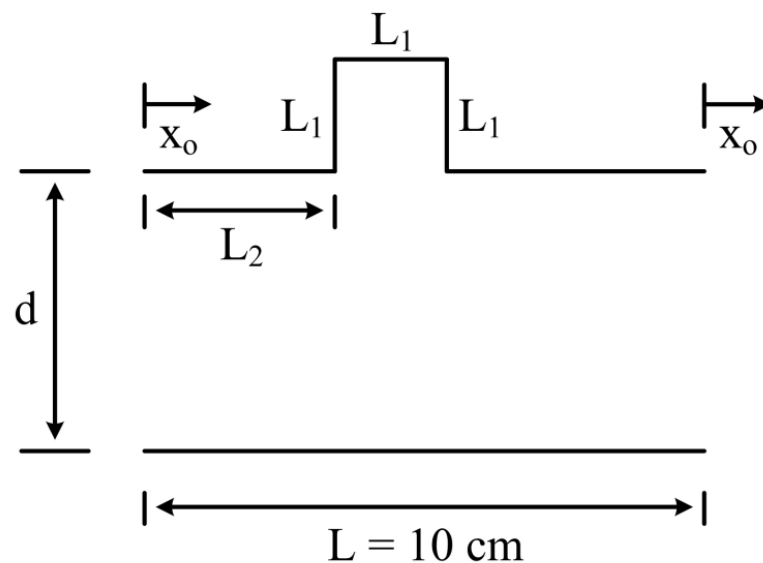
PROFESSOR: Sergio Antenor de Carvalho

QUESTÃO N° 1

Para a geometria mostrada na figura 1 determine a variação da capacitância para $0 < x_0 \leq 5$ cm. Nos casos de menor e maior capacitância calcule e analise:

- a distribuição de cargas nos dois condutores;
- a distribuição de potencial e campo elétrico em uma região quadrada de 20 cm de lado em torno do sistema no plano formado pelas linhas.

Figura 1: Par de linhas condutoras



Fonte: Sergio Antenor.

Resposta: Para essa questão, o professor incluiu os valores usados de L_1, d, L_2 . No meu caso eu fui o aluno 19, e minhas especificações para a questão foram:

- $L_1 = 0,75\text{cm}$
- $d = 7\text{cm}$
- $L_2 = 2\text{cm}$

Para conseguirmos a imagem que plot a capacitância em função de x_0 primeiros declaramos uma função chamada `calculatecapacitance2`:

```
1 function C = calculatecapacitance2(d, l, x0, N, E0)
2     RHO = calculateRho2(d, l, x0, N, E0);
```

```

3     DL = 1 / N;
4     Q = sum(RHO(1:N)) * DL;
5     C = abs(Q) / 2;
6 end

```

Após declararmos essa função no MatLab, fizemos o seguinte código:

```

1 ER = 1.0;
2 E0 = 8.8541e-12;
3 N = 100; % Número de segmentos em cada fio
4 V0 = 2.0; % Diferença de potencial
5
6 % Define o intervalo para x0
7 x0_values = 0:0.1:5; % Exemplo: de 0 a 5 com passo de 0.1
8
9 % Inicializa as capacitâncias
10 C_total = zeros(size(x0_values));
11
12 % Loop para diferentes valores de x0
13 for idx = 1:length(x0_values)
14     x0 = x0_values(idx);
15
16     % Capacitor 1 (segmento horizontal inicial)
17     d1 = 7.0; % Distância entre os fios
18     l1 = 2.0+x0; % Comprimento do fio (fixo para a parte horizontal
19     inicial)
20     C1 = calculatecapacitance2(d1, l1, x0, N, E0);
21
22     % Capacitor 2 (segmento horizontal final)
23     d2 = 7.75; % Distância entre os fios
24     l2 = 0.75; % Comprimento do fio (fixo para a parte horizontal final)
25     C2 = calculatecapacitance2(d2, l2, x0, N, E0);
26
27     % Capacitor 3 (segmento horizontal final)
28     d3 = 7.0; % Distância entre os fios
29     l3 = 7.25-x0; % Comprimento do fio (fixo para a parte horizontal
30     final)
31     C3 = calculatecapacitance2(d3, l3, x0, N, E0);

```

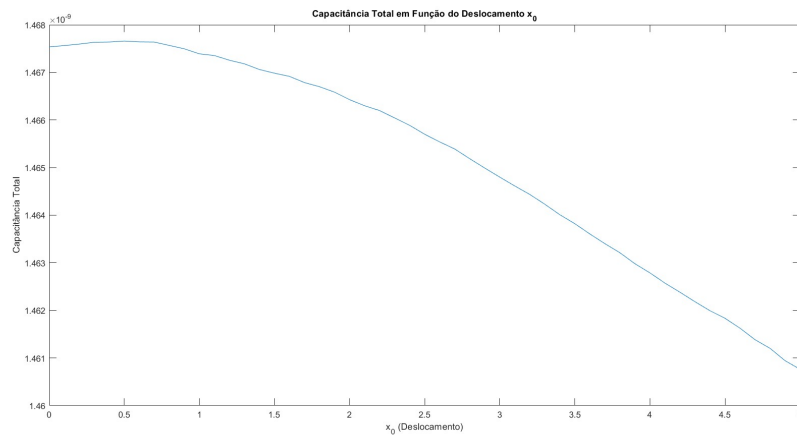
```

31     % Soma as capacit ncias
32     C_total(idx) = C1 + C2 + C3;
33 end
34
35 % Exibe a capacit ncia total em função de x0
36 plot(x0_values, C_total);
37 xlabel('x_0 (Deslocamento)');
38 ylabel('Capacit ncia Total');
39 title('Capacit ncia Total em Função do Deslocamento x_0');

```

Quando adicionamos a função no MatLab e logo em seguida rodamos esse código, obtemos a seguinte imagem:

Figura 2: Par de linhas condutoras



Fonte: Elaborado pelo Autor.

Para calcularmos e plotarmos esse gráfico, é necessário primeiro estabelecer a distribuição de carga no fio. Utilizei uma variação do código disponível no livro “Elementos de Eletromagnetismo”, livro texto do curso, que calcula a distribuição de carga em fios paralelos, adaptando-o para se adequar à geometria específica deste problema. Comecei desenvolvendo uma função para calcular a distribuição de carga e, em seguida, analisei a variação da capacitância em função de x_0 , resultando no gráfico apresentado.

A partir da imagem conseguimos inferir os pontos em que x_0 apresenta uma máxima e mínima capacitância, que no caso seriam os pontos $x_0 = 0.5\text{cm}$ e $x_0 = 5\text{cm}$ respectivamente.

Para calcular a capacitância, dividi o fio em três segmentos. O primeiro vai de 0 à L_2 com altura d , o segundo vai de L_2 à $(L_2 + L_1)$ com uma altura de $L_1 + d$, e o terceiro segmento

se estende de $(L_2 + L_1)$ à L com altura d . Ao aplicar tensão no fio superior, o comprimento do fio inferior do capacitor muda para cada segmento: no primeiro, é $L_2 + x_0$, permanece o mesmo no segundo, e no terceiro, é $L - (L_2 + L_1) - x_0$. Há um ponto em que o efeito capacitivo dos segmentos dois e três se torna irrelevante para a capacitância total. No entanto, com um x_0 variando de 0 a 5, esse fator não influencia significativamente, pois o efeito capacitivo do terceiro segmento ainda é considerado.

Agora que temos as informações dos valores de x_0 para maior e menor capacitância, será possível analisar o restante da questão.

Para melhor análise da questão, farei da seguinte maneira: Colocarei todos os códigos, em seguida as imagens plotadas junto da explicação de como foi feito o uso do Método dos Momentos nessa questão e análise dos resultados obtidos .

- Códigos:

Para que eu conseguisse fazer o código declarei algumas funções no próprio MatLab, irei deixar o código das funções aqui para que possa ser adicionada e logo em seguida o script para rodar.

Sobre as funções, salve-as como “calculateElectricField”, “generateWireGeometryWithCharge”, “calculateRho2” e “calculatePotentialForWires” respectivamente.

```
1 function [Ex, Ey] = calculateElectricField(RHO, x0, x_range, y_range
, dx, dy)
2 % Calcula o potencial elétrico V
3 V = calculatePotentialForWires(RHO, x0, x_range, y_range, dx, dy);
4
5 % Prepara a grade
6 [X, Y] = meshgrid(min(x_range):dx:max(x_range), min(y_range):dy:max(
y_range));
7
8 % Inicializa as componentes do campo elétrico
9 Ex = zeros(size(V));
10 Ey = zeros(size(V));
11
12 % Calcula o campo elétrico usando diferenças finitas
13 for i = 1:size(V, 1) - 1
14     for j = 1:size(V, 2) - 1
```

```

15         Ex(i, j) = -(V(i, j+1) - V(i, j)) / dx;
16         Ey(i, j) = -(V(i+1, j) - V(i, j)) / dy;
17     end
18 end
19
20 % Plotando o campo elétrico
21 figure;
22 quiver(X, Y, Ex, Ey);
23 title('Campo Elétrico');
24 xlabel('x');
25 ylabel('y');
26 end

```

```

1 function generateWireGeometryWithCharge(RHO, x0)
2 % Define os par metros
3 L = 10;
4 d = 7;
5 L2 = 2;
6 N = length(RHO) / 2; % Número de segmentos em cada fio
7 DL = L / N;
8
9 % Cria a figura
10 figure;
11 hold on;
12 axis equal;
13 grid on;
14 xlabel('x');
15 ylabel('y');
16
17 % Desenha o fio inferior com carga
18 for i = 1:N
19     x = (i - 0.5) * DL;
20     scatter(x, 0, 10, RHO(i), 'filled'); % Carga negativa no fio
inferior
21 end
22
23 % Desenha o fio superior com "dente" e carga
24 for i = 1:N
25     x = (i - 0.5) * DL;

```

```

26
27     % Calcula a posição do fio superior considerando o "dente"
28     if x < 2
29         xUpper = x + x0; % Parte horizontal inicial
30         yUpper = d; % Parte horizontal inicial
31     elseif x < 2.75
32         xUpper = 2 + x0; % Parte vertical
33         yUpper = d + (x - 2); % Parte vertical
34     elseif x < 3.5
35         xUpper = x - 0.75 + x0; % Parte horizontal final
36         yUpper = d + 0.75; % Parte horizontal final
37     elseif x < 4.25
38         xUpper = 2.75 + x0; % Parte vertical
39         yUpper = 1.6*d - x; % Parte vertical
40     else
41         xUpper = x - 1.5 + x0; % Parte horizontal inicial
42         yUpper = d; % Parte horizontal inicial
43     end
44
45     scatter(xUpper, yUpper, 10, RHO(i+N), 'filled'); % Carga
positiva no fio superior
46 end
47
48 % Limites do gráfico e ajustes finais
49 colormap jet; % Define uma escala de cores
50 colorbar; % Adiciona uma barra de cores para referência
51 xlim([-1, L+1]);
52 ylim([-1, d+2]);
53
54 hold off;
55 end

```

```

1 function RHO = calculateRho2(d, l, x0, N, EO)
2 NT = 2 * N;
3 DL = l / N;
4 A = zeros(NT, NT);
5 B = ones(NT, 1);
6 B(N+1:end) = -1.0;
7

```

```

8      % Define as posições dos segmentos nos fios
9      for K = 1:N
10         X(K) = (K - 0.5) * DL;
11         Y(K) = 0;
12         Z(K) = 0;
13
14         % Calcula a posição X para o fio superior considerando o "dente"
15         if X(K) < 2
16             X(K+N) = X(K) + x0; % Parte horizontal inicial
17         elseif X(K) < 2.75
18             X(K+N) = 2 + x0; % Parte vertical
19         else
20             X(K+N) = X(K) - 0.75 + x0; % Parte horizontal final
21         end
22
23         % Calcula a posição Y para o fio superior considerando o "dente"
24         if X(K) < 2
25             Y(K+N) = d; % Parte horizontal inicial
26         elseif X(K) < 2.75
27             Y(K+N) = d + (X(K) - 2); % Parte vertical
28         else
29             Y(K+N) = d + 0.75; % Parte horizontal final
30         end
31
32         Z(K+N) = 0;
33     end
34
35     % Constrói a matriz de coeficientes
36     for I = 1:NT
37         for J = 1:NT
38             if I == J
39                 A(I, J) = DL * 0.8814 / (pi * E0);
40             else
41                 R = sqrt((X(I) - X(J))^2 + (Y(I) - Y(J))^2 + (Z(I) - Z(J))^2);
42                 A(I, J) = DL^2 / (4 * pi * E0 * R);
43             end
44         end

```



```

45     end
46
47     % Calcula a distribuição de carga e a capacitância
48     F = inv(A);
49     RHO = F * B;
50 end

1     function V = calculatePotentialForWires(RHO, x0, x_range, y_range,
2     dx, dy)
3     % Constantes
4     epsilon0 = 8.854e-12; % Permissividade do vácuo
5     L = 10; % Comprimento total dos fios
6     d = 7; % Distância vertical entre os fios
7     N = length(RHO) / 2; % Número de cargas em cada fio
8     DL = L / N; % Comprimento de cada segmento
9
10    % Cria uma grade para calcular o potencial
11    [X, Y] = meshgrid(min(x_range):dx:max(x_range), min(y_range):dy:max(
12    y_range));
13    V = zeros(size(X)); % Inicializa a matriz de potencial
14
15    % Loop sobre as cargas no fio inferior
16    for i = 1:N
17        x_charge = (i - 0.5) * DL;
18        y_charge = 0;
19        r = sqrt((X - x_charge).^2 + (Y - y_charge).^2);
20        V = V + RHO(i) ./ (4 * pi * epsilon0 * r);
21    end
22
23    % Loop sobre as cargas no fio superior (com a geometria específica)
24    for i = 1:N
25        x = (i - 0.5) * DL;
26
27        % Define a posição y do fio superior, com base na geometria dada
28        if x < 2
29            xUpper = x + x0; yUpper = d;
30        elseif x < 2.75
31            xUpper = 2 + x0; yUpper = d + (x - 2);
32        elseif x < 3.5

```

```

31         xUpper = x - 0.75 + x0; yUpper = d + 0.75;
32     elseif x < 4.25
33         xUpper = 2.75 + x0; yUpper = 1.6 * d - x;
34     else
35         xUpper = x - 1.5 + x0; yUpper = d;
36     end
37
38     r = sqrt((X - xUpper).^2 + (Y - yUpper).^2);
39     V = V + RHO(i + N) ./ (4 * pi * epsilon0 * r);
40 end
41
42 % Lidar com singularidades
43 V(isinf(V)) = NaN;
44
45 % Plotando o potencial
46 figure;
47 surf(X, Y, V);
48 shading interp;
49 colorbar;
50 title('Distribuição de Potencial');
51 xlabel('x');
52 ylabel('y');
53 zlabel('Potencial (V)');
54 end

```

Agora que temos todas as funções já declaradas no nosso programa, vamos para o código que será rodado:

```

1
2 % agora vemos com a distribuição de carga nos fios
3 % x0= 0.5 já que foi o observado na questão como maior capacitância
4 x0 = 0.5; % Valor de exemplo para x0
5 d = 7; % Distância entre os fios
6 l = 10.0; % Comprimento do fio
7 N = 100; % Maior número de segmentos para melhor resolução
8 E0 = 8.8541e-12;
9
10 RHO = calculateRho2(d, l, x0, N, E0);
11

```

```

12 % Posições dos segmentos
13 DL = 1 / N;
14 X = (DL/2):DL:1;
15
16 % Plot
17 figure;
18 plot(X, RHO(1:N), 'b-', X, RHO(N+1:end), 'r--');
19 legend('Fio Inferior', 'Fio Superior');
20 xlabel('Posição (m)');
21 ylabel('Densidade de Carga (C/m)');
22 title('Distribuição de Carga no Capacitor x_0=0.5');
23
24 % x0= 5 já que foi o observado na questão como menor capacitância
25 x0 = 5; % Valor de exemplo para x0
26 d = 7; % Distância entre os fios
27 l = 10.0; % Comprimento do fio
28 N = 100; % Maior número de segmentos para melhor resolução
29 EO = 8.8541e-12;
30
31 RHO = calculateRho2(d, l, x0, N, EO);
32
33 % Posições dos segmentos
34 DL = 1 / N;
35 X = (DL/2):DL:1;
36
37 % Plot
38 figure;
39 plot(X, RHO(1:N), 'b-', X, RHO(N+1:end), 'r--');
40 legend('Fio Inferior', 'Fio Superior');
41 xlabel('Posição (m)');
42 ylabel('Densidade de Carga (C/m)');
43 title('Distribuição de Carga no Capacitor x_0=5');
44
45 %Agora para p na geometria
46 x0=0.5
47 generateWireGeometry(RHO, x0);
48
49 x0=5;

```

```

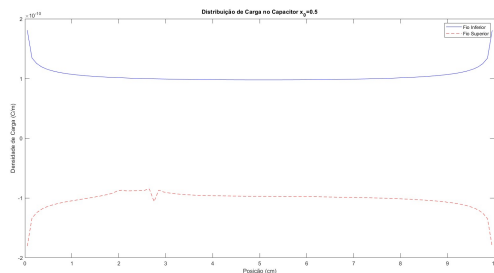
50 generateWireGeometry(RH0, x0);
51 %%
52 %por fim potencial e campo elétrico
53 %x0=0.5
54 x_range = [-5, 15];
55 y_range = [-10, 10];
56 dx = 0.1;
57 dy = 0.1;
58 x0= 0.5;
59 calculatePotentialForWires(RH0, x0, x_range, y_range, dx, dy);
60 calculateElectricField(RH0, x0, x_range, y_range, dx, dy);
61
62
63 %%
64 %x0=5
65 x_range = [-5, 15];
66 y_range = [-10, 10];
67 dx = 0.1;
68 dy = 0.1;
69 x0= 5;
70 calculatePotentialForWires(RH0, x0, x_range, y_range, dx, dy);
71 calculateElectricField(RH0, x0, x_range, y_range, dx, dy);

```

- Plotagem + Explicação:

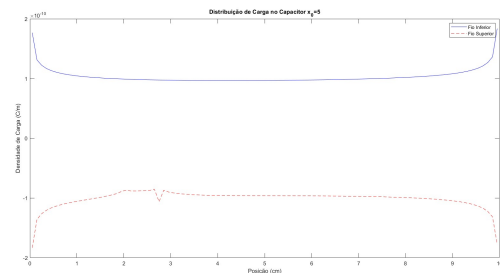
Com todas as informações do código já informadas, conseguimos agora plotar as figuras e fazer a explicação pedida.

Após analisarmos os valores de x_0 , plotamos as imagens com a distribuição de carga:



(a) Distribuição de carga em $x_0 = 0.05\text{cm}$

Fonte: Elaborado pelo autor.



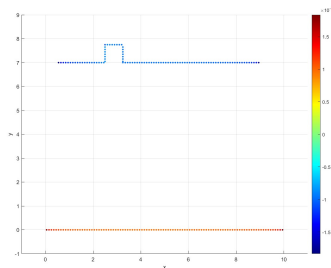
(b) Distribuição de carga em $x_0 = 5\text{cm}$

Fonte: Elaborado pelo autor.

Quando analisamos o fio inferior dos dois casos, percebemos que os mesmos tem praticamente o mesmo comportamento, sem conseguir inferir de forma visual a diferença, contudo, uma análise detalhada, avaliando ponto a ponto, revela variações significativas na distribuição de carga ao longo do fio. Em contrapartida o fio superior apresenta uma diferença mais notória, para um valor de $x_0 = 5$, observamos uma distribuição de carga mais uniforme ao longo do fio superior, com uma concentração mais acentuada de cargas nas extremidades. Por outro lado, para $x_0 = 0.05$, a distribuição se torna mais assimétrica, com uma acumulação de carga de menor intensidade.

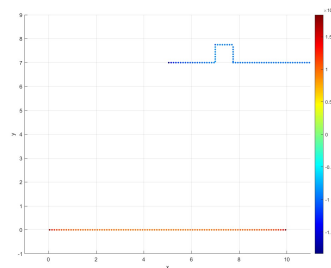
Após isso foi necessário fazer a geometria para que conseguíssemos calcular ponto a ponto tanto o Potencial Elétrico como o Campo Elétrico. Inicialmente, definimos a geometria e, para cada ponto, atribuímos o valor de ρ correspondente.

Ao gerar os gráficos, enfrentamos dificuldades. Devido à mesma discretização utilizada para ambos os fios, surgiu um problema: o fio superior parecia mais curto do que deveria. Essa percepção resultou da igualdade na discretização. Ao definir ponto a ponto, o fio superior, que deveria ser mais longo, acabou tendo o mesmo comprimento que o fio inferior. Isso criou a impressão de uma diferença no comprimento, mas essa discrepância não impacta significativamente nossos cálculos. No fio superior, onde há o “dente”, a carga correspondente está presente. Idealmente, deveríamos ter aplicado uma discretização mais fina para o fio superior para ajustar o comprimento. Contudo, tal ação não afetaria de forma significativa o resultado.



(a) Geometria para $x_0 = 0.05cm$

Fonte: Elaborado pelo autor.

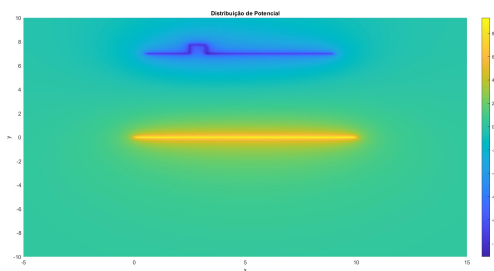


(b) Geometria para $x_0 = 5cm$

Fonte: Elaborado pelo autor.

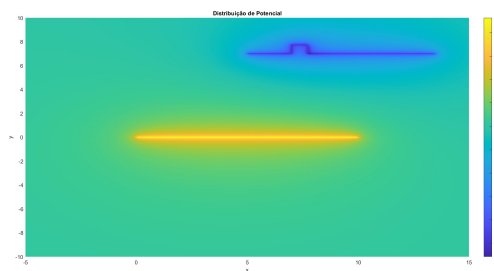
Agora para que consigamos calcular o potencial dos fios, foi utilizado as mesmas funções que geraram os gráficos mostrados anteriormente. Logo conseguimos as seguintes distribuições de potencial:

A análise dos gráficos revela que o potencial sofre uma variação notável na presença do “dente” no fio superior. No fio inferior, essa variação não ocorre. O motivo para a variação no



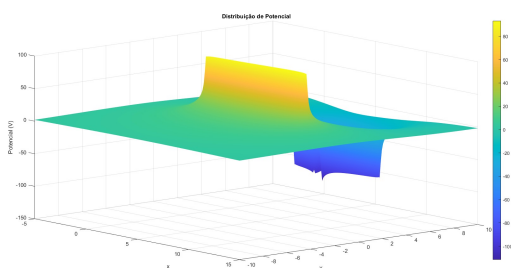
(a) Potencial em $x_0 = 0.05cm$

Fonte: Elaborado pelo autor.



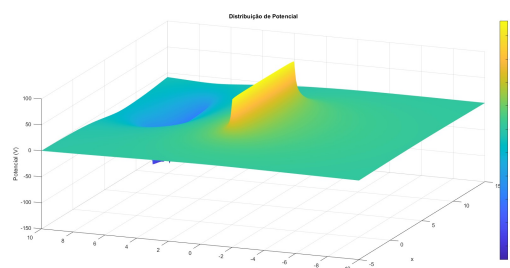
(b) Potencial em $x_0 = 5cm$

Fonte: Elaborado pelo autor.



(c) Potencial em 3D em $x_0 = 0.05cm$

Fonte: Elaborado pelo autor.

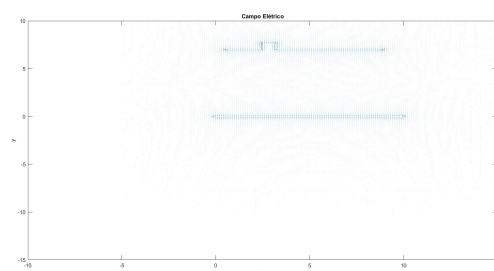


(d) Potencial em 3D em $x_0 = 5cm$

Fonte: Elaborado pelo autor.

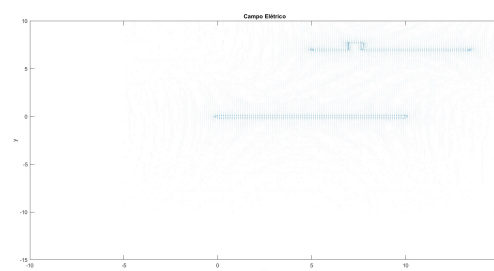
fio superior é o acúmulo, ainda que mínimo, de cargas no dente. Essa pequena alteração no potencial é sutil e só pode ser observada ao interagirmos diretamente com o gráfico, como por exemplo, ao clicar nele para uma análise mais detalhada.

Já para obter o Campo Elétrico, foi criada uma função que usa o gradiente, obtendo então os seguintes gráficos:



(a) Campo Elétrico para $x_0 = 0.05cm$

Fonte: Elaborado pelo autor.



(b) Campo Elétrico para $x_0 = 5cm$

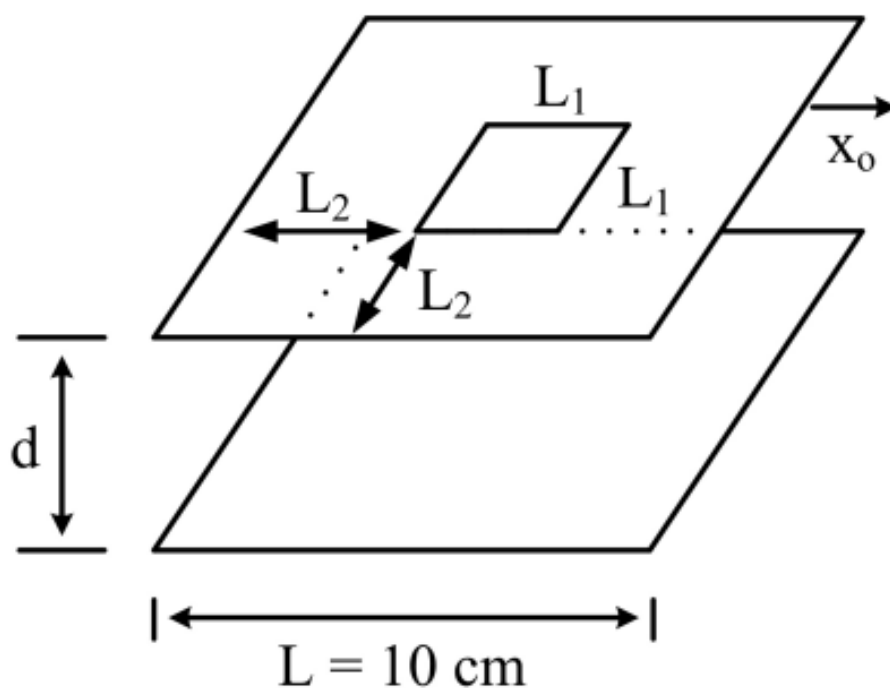
Fonte: Elaborado pelo autor.

QUESTÃO Nº 2

Para a geometria mostrada na Figura 7 determine a variação da capacitância para $0 < x_0 \leq 5$ cm. Nos casos de menor e maior capacitância calcule e analise:

- a distribuição de cargas nos dois condutores;
- a distribuição de potencial e campo elétrico em uma região quadrada de 20 cm de lado em torno do sistema no plano formado pelas linhas.

Figura 7: Par de placas condutoras



Fonte: Sergio Antenor.

Resposta: Para essa questão, o professor incluiu os valores usados de L_1, d, L_2 . No meu caso eu fui o aluno 19, e minhas especificações para a questão foram:

- $L_1 = 2.5$ cm
- $d = 5.0$ cm
- $L_2 = 4.5$ cm

Diferentemente da primeira questão, essa apresenta uma maior complexidade, devido a sua natureza tridimensional, aumentando a dificuldade em relação a primeira questão que era apenas bidimensional.

O primeiro passo foi consultar o livro para entender como o método dos momentos é aplicado a capacitores de placas paralelas. No livro, encontramos um exemplo que foca apenas no cálculo da capacitância. A partir desse código, realizei adaptações, incluindo uma modificação significativa.

Inseri no código as coordenadas do vértice do buraco na placa em relação à origem. Inicialmente, tentei definir a distância entre os vértices, mas isso levou a erros. Depois de várias tentativas, percebi que, ao definir a distância do vértice, estava na verdade especificando a coordenada do vértice do buraco. No meu caso, com $L = 4.5\text{cm}$, o vértice estava a uma distância de aproximadamente 6.36cm , o que se tornou um grande obstáculo na resolução do problema.

Para calcular a capacitância, utilizei a base do código do livro, mas com modificações para tratar o caso específico de um capacitor de placas paralelas com um buraco em uma das placas. Apliquei um loop no código para remover os pontos correspondentes ao buraco na placa.

Optei por uma discretização relativamente alta. Como o problema agora é bidimensional, a resolução da matriz $M \times M$ difere do caso unidimensional. Usei uma discretização de $N = 400$ e defini $M = N$, o que simplificou um pouco o problema. Ao dividir a placa em uma matriz 20×20 , muitos pontos precisavam ser calculados. Sem essa “simplificação”, a quantidade de pontos seria ainda maior, tornando a matriz mais densa e complexa para ser preenchida e invertida para encontrar o ρ .

Defini a seguinte função no MatLab chamada “calcularCapacitancia”.

```
1 function [C, RH0] = calcularCapacitancia(x0)
2     % Constantes
3     ER = 1.0;
4     EO = 8.8541e-12;
5     ladoPlaca = 0.1; % 10 cm
6     distanciaPlacas = 0.05; % 7 cm
7     N = 400;
8     NT = 2 * N;
9     M = sqrt(N);
10    DX = ladoPlaca / M;
11    DY = ladoPlaca / M;
12    DL = DX;
13
14    % Parâmetros do buraco
15    ladoBuraco = 0.002025; % 2.5 cm
```



```

16     distanciaVertice = 2.5/ 100; % 5 2 cm em metros
17
18     % Inicialização das matrizes e vetores
19     A = zeros(NT, NT);
20     B = zeros(NT, 1);
21     X = zeros(NT, 1);
22     Y = zeros(NT, 1);
23     Z = zeros(NT, 1);
24
25     % Preenchimento de X, Y, Z com deslocamento na placa superior
26     K = 0;
27     for K1 = 1:2
28         for K2 = 1:M
29             for K3 = 1:M
30                 K = K + 1;
31                 if K1 == 1
32                     % Placa inferior
33                     X(K) = DX * (K2 - 0.5);
34                     Y(K) = DY * (K3 - 0.5);
35                 else
36                     % Placa superior com deslocamento x0
37                     X(K) = DX * (K2 - 0.5) + x0;
38                     Y(K) = DY * (K3 - 0.5);
39                 end
40             end
41         end
42     end
43     Z(1:N) = 0.0;
44     Z(N+1:end) = distanciaPlacas;
45
46     % Cálculo da matriz A e vetor B
47     for I = 1:NT
48         for J = 1:NT
49             if I == J
50                 A(I, J) = DL * 0.8814 / (pi * E0);
51             else
52                 R = sqrt((X(I) - X(J))^2 + (Y(I) - Y(J))^2 + (Z(I) - Z(J))^2);

```

```

53         A(I, J) = DL^2 / (4 * pi * EO * R);
54     end
55 end
56 % Verificando se o ponto está dentro do buraco
57 if X(I) > distanciaVertice && X(I) < distanciaVertice +
    ladoBuraco && Y(I) > distanciaVertice && Y(I) < distanciaVertice +
    ladoBuraco
58     B(I) = 0;
59 else
60     B(I) = I <= N;
61 end
62 end
63 % Calculando e Capacitância
64 F = inv(A);
65 RHO = F * B;
66 Q = sum(RHO(1:N)) * (DL^2);
67 VO = 2.0;
68 C = abs(Q) / VO;
69 end

```

Após declararmos essa função no MatLab, fizemos o seguinte código:

```

1 x0_min = 0; % Deslocamento mínimo em metros
2 x0_max = 0.05; % Deslocamento máximo em metros
3 num_pontos = 50; % Número de pontos no intervalo
4
5 % Vetores para armazenar valores de x0 e capacitâncias
6 x0_valores = linspace(x0_min, x0_max, num_pontos);
7 capacitancias = zeros(1, num_pontos);
8
9 % Cálculo da capacitância para cada valor de x0
10 for i = 1:num_pontos
11     [C, ~] = calcularCapacitancia(x0_valores(i));
12     capacitancias(i) = C;
13 end
14
15 % Plotando os resultados
16 figure;
17 plot(x0_valores, capacitancias);

```

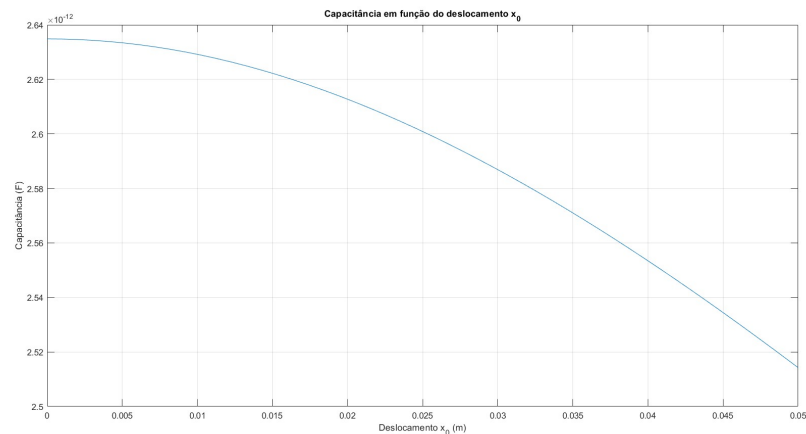
```

18 xlabel('Deslocamento x_0 (m)');
19 ylabel('Capacitância (F)');
20 title('Capacitância em função do deslocamento x_0');
21 grid on;

```

Quando adicionamos a função no MatLab e logo em seguida rodamos esse código, obtemos a seguinte imagem:

Figura 8: Capacitância em relação à x_0



Fonte: Elaborado pelo Autor.

A partir dela conseguimos inferir os pontos em que x_0 apresenta uma máxima e mínima capacitância, que no caso seriam os pontos $x_0 = 0\text{cm}$ e $x_0 = 5\text{cm}$ respectivamente. Tal comportamento era esperado, pois diferente do primeiro problema onde tivemos que dividir o capacitor em 3, já aqui a melhor estratégia envolve considerar as placas como paralelas e ajustar a geometria para levar em conta o efeito capacitivo resultante da presença do buraco.

Agora que temos as informações dos valores de x_0 para maior e menor capacitância, será possível analisar o restante da questão.

Para melhor análise da questão, farei da seguinte maneira: Colocarei todos os códigos, em seguida as imagens plotadas junto da explicação de como foi feito o uso do Método dos Momentos nessa questão e análise dos resultados obtidos.

- Códigos:

Para que eu conseguisse fazer o código declarei algumas funções no próprio MatLab, irei deixar o código das funções aqui para que possa ser adicionada e logo em seguida o script para rodar.

Salve a função como “calcularDistribuicaoDeCarga”.

```
1 function [rho_placa1, rho_placa2] = calcularDistribuicaoDeCarga(x0)
2 % Constantes
3 ER = 1.0;
4 EO = 8.8541e-12;
5 ladoPlaca = 0.1; % 10 cm
6 distanciaPlacas = 0.5; % 7 cm
7 N = 400;
8 NT = 2 * N;
9 M = sqrt(N);
10 DX = ladoPlaca / M;
11 DY = ladoPlaca / M;
12 DL = DX;
13
14 % Par metros do buraco
15 ladoBuraco = 0.045; %
16 % Centralizando o buraco na placa
17 distanciaVertice = 2.5/100;
18
19 % Inicialização das matrizes e vetores
20 A = zeros(NT, NT);
21 B = zeros(NT, 1);
22 X = zeros(NT, 1);
23 Y = zeros(NT, 1);
24 Z = zeros(NT, 1);
25
26 % Preenchimento de X, Y, Z com deslocamento na placa superior
27 K = 0;
28 for K1 = 1:2
29     for K2 = 1:M
30         for K3 = 1:M
31             K = K + 1;
32             if K1 == 1
33                 % Placa inferior
34                 X(K) = DX * (K2 - 0.5);
35                 Y(K) = DY * (K3 - 0.5);
36             else
37                 % Placa superior com deslocamento x0
```

```

38         X(K) = DX * (K2 - 0.5) + x0;
39         Y(K) = DY * (K3 - 0.5);
40     end
41 end
42 end
43 end
44 Z(1:N) = 0.0;
45 Z(N+1:end) = distanciaPlacas;
46
47 % Cálculo da matriz A e vetor B
48 for I = 1:NT
49     for J = 1:NT
50         if I == J
51             A(I, J) = DL * 0.8814 / (pi * EO);
52         else
53             R = sqrt((X(I) - X(J))^2 + (Y(I) - Y(J))^2 + (Z(I) - Z(J))^2);
54             A(I, J) = DL^2 / (4 * pi * EO * R);
55         end
56     end
57     % Verificando se o ponto está dentro do buraco
58     if X(I) > distanciaVertice && X(I) < distanciaVertice +
        ladoBuraco && Y(I) > distanciaVertice && Y(I) < distanciaVertice +
        ladoBuraco
59         B(I) = 0;
60     else
61         B(I) = I <= N; % Ajuste na atribuição de valores para B
62     end
63 end
64
65 % Calculando a Capacitância
66 F = inv(A);
67 RHO = F * B;
68 rho_placa1 = RHO(1:N); % Densidade de carga na placa inferior
69 rho_placa2 = RHO(N+1:end); % Densidade de carga na placa superior
70 % Preparando dados para plotagem
71 [X_grid, Y_grid] = meshgrid(linspace(0, ladoPlaca, M), linspace(0,
        ladoPlaca, M));

```

```

72     rho_plot1 = reshape(rho_placa1, [M, M]);
73     rho_plot2 = reshape(rho_placa2, [M, M]);
74
75     % Plotagem da distribuição de carga
76     figure;
77     subplot(1, 2, 1);
78     surf(X_grid, Y_grid, rho_plot1);
79     title('Distribuição de Carga na Placa Inferior');
80     xlabel('X (m)');
81     ylabel('Y (m)');
82     zlabel('Densidade de Carga (C/m^2)');
83
84     subplot(1, 2, 2);
85     surf(X_grid, Y_grid, rho_plot2);
86     title('Distribuição de Carga na Placa Superior');
87     xlabel('X (m)');
88     ylabel('Y (m)');
89     zlabel('Densidade de Carga (C/m^2)');
90
91     % Retornando dados para plotagem externa, se necessário
92     X_plot = X_grid;
93     Y_plot = Y_grid;
94     rho_plot1 = rho_plot1;
95     rho_plot2 = rho_plot2;
96 end

```

Após declarar todas as nossas funções no programa, vamos para o código que será rodado:

```

1     %Agora o cálculo da distribuição de carga com o x0= 0 e x0=5cm
2     calcularDistribuicaoDeCarga(0);
3     calcularDistribuicaoDeCarga(0.05);
4     %%
5     % Potencial e campo elétrico para x0=0
6     epsilon0 = 8.8541e-12; % Permissividade do vácuo
7     ladoPlaca = 0.1; % Lado da placa (10 cm)
8
9     % Calculando a distribuição de carga
10    x0 = 0; % Exemplo de deslocamento de 2 cm
11    [rho_inferior, rho_superior] = calcularDistribuicaoDeCarga(x0);

```

```

12
13 % Número de pontos em cada dimensão da placa
14 M = sqrt(length(rho_inferior));
15
16 % Redimensionando os vetores de rho para matrizes 2D
17 rho_matriz_inferior = reshape(rho_inferior, M, M);
18 rho_matriz_superior = reshape(rho_superior, M, M);
19
20 % Criando uma grade para cálculo do potencial
21 [X, Y] = meshgrid(linspace(0, ladoPlaca, M), linspace(0, ladoPlaca, M));
22 Z = 0.01; % Altura fixa acima das placas para cálculo do potencial
23
24 % Inicializando o potencial elétrico
25 V = zeros(size(X));
26
27 % Calculando o potencial elétrico
28 for i = 1:M
29     for j = 1:M
30         r_inferior = sqrt((X - X(i, j)).^2 + (Y - Y(i, j)).^2 + Z^2);
31         V = V + rho_matriz_inferior(i, j) ./ (4 * pi * epsilon0 *
            r_inferior);
32         r_superior = sqrt((X - (X(i, j) + x0)).^2 + (Y - Y(i, j)).^2 + Z
            ^2);
33         V = V + rho_matriz_superior(i, j) ./ (4 * pi * epsilon0 *
            r_superior);
34     end
35 end
36 % Calculando o campo elétrico a partir do potencial
37 [Ex, Ey] = gradient(-V);
38
39 % Plotando o campo elétrico
40 figure;
41 quiver(X, Y, Ex, Ey);
42 title('Campo Elétrico Acima das Placas x_0=0');
43 xlabel('x (m)');
44 ylabel('y (m)');
45 axis tight;
46 % Plotando o potencial elétrico

```

```

47 figure;
48 surf(X, Y, V);
49 title('Potencial Elétrico Acima das Placas x_0=0');
50 xlabel('x (m)');
51 ylabel('y (m)');
52 zlabel('Potencial Elétrico (V)');
53 colorbar; % Adiciona uma barra de cores para representar a variação do
    potencial
54 shading interp; % Para uma visualização mais suave
55 %%
56 % Potencial e campo elétrico x0=5cm
57 epsilon0 = 8.8541e-12; % Permissividade do vácuo
58 ladoPlaca = 0.1; % Lado da placa (10 cm)
59
60 % Calculando a distribuição de carga
61 x0 = 0.05; % Exemplo de deslocamento de 2 cm
62 [rho_inferior, rho_superior] = calcularDistribuicaoDeCarga(x0);
63
64 % Número de pontos em cada dimensão da placa
65 M = sqrt(length(rho_inferior));
66
67 % Redimensionando os vetores de rho para matrizes 2D
68 rho_matriz_inferior = reshape(rho_inferior, M, M);
69 rho_matriz_superior = reshape(rho_superior, M, M);
70
71 % Criando uma grade para cálculo do potencial
72 [X, Y] = meshgrid(linspace(0, ladoPlaca, M), linspace(0, ladoPlaca, M));
73 Z = 0.01; % Altura fixa acima das placas para cálculo do potencial
74
75 % Inicializando o potencial elétrico
76 V = zeros(size(X));
77
78 % Calculando o potencial elétrico
79 for i = 1:M
80     for j = 1:M
81         r_inferior = sqrt((X - X(i, j)).^2 + (Y - Y(i, j)).^2 + Z^2);
82         V = V + rho_matriz_inferior(i, j) ./ (4 * pi * epsilon0 *
            r_inferior);

```



```

83         r_superior = sqrt((X - (X(i, j) + x0)).^2 + (Y - Y(i, j)).^2 + Z
84             ^2);
85         V = V + rho_matriz_superior(i, j) ./ (4 * pi * epsilon0 *
86             r_superior);
87     end
88 end
89
90 % Calculando o campo elétrico a partir do potencial
91 [Ex, Ey] = gradient(-V);
92
93 % Plotando o campo elétrico
94 figure;
95 quiver(X, Y, Ex, Ey);
96 title('Campo Elétrico Acima das Placas x_0=5cm');
97 xlabel('x (m)');
98 ylabel('y (m)');
99 axis tight;
100
101 % Plotando o potencial elétrico
102 figure;
103 surf(X, Y, V);
104 title('Potencial Elétrico Acima das Placas x_0=5cm');
105 xlabel('x (m)');
106 ylabel('y (m)');
107 zlabel('Potencial Elétrico (V)');
108 colorbar; % Adiciona uma barra de cores para representar a variação do
109             potencial
110 shading interp; % Para uma visualização mais suave
111 %%
112 % Potencial e campo elétrico perpendicular x0= 5cm
113
114 % Par metros do problema
115 epsilon0 = 8.8541e-12; % Permissividade do vácuo
116 L = 200; % Dimensão da grade
117 x0 = 5 / 100; % Deslocamento x0 em metros (5 cm)
118
119 % Inicializando a matriz de potencial
120 U = zeros(L, L);
121
122 % Calculando a densidade de carga rho

```

```

118 [rho_placa1, rho_placa2] = calcularDistribuicaoDeCarga(x0);
119
120 % A densidade de carga é convertida em potencial
121 potencial_placa1 = 220; % Potencial arbitrário para placa 1
122 potencial_placa2 = -220; % Potencial arbitrário para placa 2
123
124 % Posicionamento das placas na matriz de potencial
125 placa1_y = L/2 - 40;
126 placa2_y = L/2 + 40;
127 placa_x_start = L/2 - 80;
128 placa_x_end = L/2 + 80;
129
130 % Convertendo x0 para índice na matriz
131 x0_index = round(x0 * L / (0.1 * 2)); % Supondo que o tamanho total é
    0.1*2 metros
132
133 % Aplicando potencial às placas
134 U(placa1_y, placa_x_start:placa_x_end) = potencial_placa1;
135 U(placa2_y, (placa_x_start + x0_index):(placa_x_end + x0_index)) =
    potencial_placa2;
136
137 % Método de relaxamento para calcular o potencial no espaço
138 for iter = 1:1000
139     for i = 2:L-1
140         for j = 2:L-1
141             if U(i, j) == potencial_placa1 || U(i, j) ==
                potencial_placa2
142                 continue; % Mantendo o potencial nas placas
143             end
144             U(i, j) = (U(i+1, j) + U(i-1, j) + U(i, j+1) + U(i, j-1)) /
                4;
145         end
146     end
147 end
148
149 % Plotando o potencial elétrico
150 figure;
151 surf(U);

```

```

152 shading interp;
153 colorbar;
154 xlabel('Lx');
155 ylabel('Ly');
156 zlabel('Potencial Elétrico, em Volts');
157 title('Distribuição de Potencial Elétrico x_0=5');
158
159 % Calculando e plotando o campo elétrico
160 [Ex, Ey] = gradient(-U);
161 figure;
162 contour(U, 'LineWidth', 2);
163 hold on;
164 quiver(Ex, Ey, 4);
165 hold off;
166 title('Campo Elétrico x_0=5');
167 %%
168 % Potencial e campo elétrico x0=0
169 epsilon0 = 8.8541e-12; % Permissividade do vácuo
170 L = 200; % Dimensão da grade
171 x0 = 0; % Deslocamento x0 em metros
172
173 % Inicializando a matriz de potencial
174 U = zeros(L, L);
175
176 % Calculando a densidade de carga rho
177 [rho_placa1, rho_placa2] = calcularDistribuicaoDeCarga(x0);
178
179 % A densidade de carga é convertida em potencial
180 potencial_placa1 = 220; % Potencial arbitrário para placa 1
181 potencial_placa2 = -220; % Potencial arbitrário para placa 2
182
183 % Posicionamento das placas na matriz de potencial
184 placa1_y = L/2 - 40;
185 placa2_y = L/2 + 40;
186 placa_x_start = L/2 - 80;
187 placa_x_end = L/2 + 80;
188
189 % Convertendo x0 para índice na matriz

```

```

190 x0_index = round(x0 * L / (0.1 * 2)); % Supondo que o tamanho total é
      0.1*2 metros
191
192 % Aplicando potencial às placas
193 U(placa1_y, placa_x_start:placa_x_end) = potencial_placa1;
194 U(placa2_y, (placa_x_start + x0_index):(placa_x_end + x0_index)) =
      potencial_placa2;
195
196 % Método de relaxamento para calcular o potencial no espaço
197 for iter = 1:1000
198     for i = 2:L-1
199         for j = 2:L-1
200             if U(i, j) == potencial_placa1 || U(i, j) ==
                potencial_placa2
201                 continue; % Mantendo o potencial nas placas
202             end
203             U(i, j) = (U(i+1, j) + U(i-1, j) + U(i, j+1) + U(i, j-1)) /
                4;
204         end
205     end
206 end
207
208 % Plotando o potencial elétrico
209 figure;
210 surf(U);
211 shading interp;
212 colorbar;
213 xlabel('Lx');
214 ylabel('Ly');
215 zlabel('Potencial Elétrico, em Volts');
216 title('Distribuição de Potencial Elétrico x_0=0');
217
218 % Calculando e plotando o campo elétrico
219 [Ex, Ey] = gradient(-U);
220 figure;
221 contour(U, 'LineWidth', 2);
222 hold on;
223 quiver(Ex, Ey, 4);

```

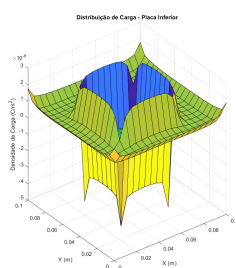
```

224 hold off;
225 title('Campo Elétrico x_0=0');

```

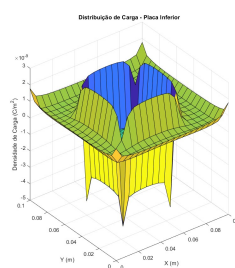
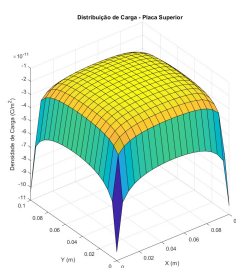
- Plotagem + Explicação:

Com todas as informações do código já informadas, conseguimos agora plotar as figuras e fazer a explicação pedida.



(a) Distribuição de Carga para $x_0 = 0\text{cm}$

Fonte: Elaborado pelo autor.



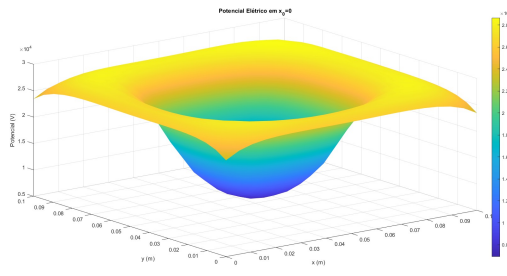
(b) Distribuição de Carga para $x_0 = 5\text{cm}$

Fonte: Elaborado pelo autor.

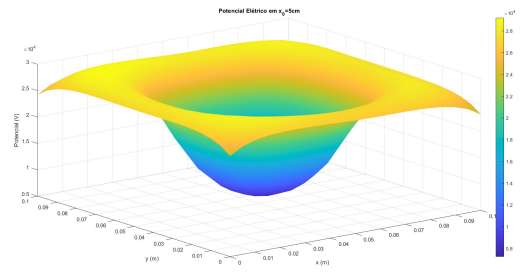
Inicialmente, a similaridade entre os gráficos pode sugerir que não há diferenças significativas entre a placa com e sem buraco. No entanto, uma inspeção mais detalhada, especialmente da escala, indica mudanças relevantes. Na placa sem buraco, a variação na escala é um indicativo de alterações, enquanto na placa com buraco, nota-se uma mudança no acúmulo de cargas tanto nas bordas do buraco quanto nos vértices da placa. O fato de que a magnitude da carga é maior para $x_0 = 0\text{cm}$ do que para $x_0 = 5\text{cm}$ valida a eficácia do código.

O desafio mais significativo surgiu na etapa de modelagem da distribuição de potencial e do campo elétrico em três dimensões, abordando o problema sob diferentes perspectivas. Optei por uma estratégia que não necessitava da representação completa do potencial ou do campo elétrico em 3D. Em vez disso, concentrei-me em planos específicos, como os localizados em $z = 0\text{cm}$ e $z = d$. Esta abordagem me permitiu integrar a carga e visualizar de forma eficaz tanto o potencial quanto o campo elétrico nesses planos específicos. Escolhi o plano com o buraco para a plotagem, pois oferecia uma clareza maior nas diferenças de potencial e campo elétrico, ilustrando assim de forma mais vívida as nuances do fenômeno estudado.

Ao analisarmos os gráficos de Potencial Elétrico, notamos imediatamente uma alteração significativa quando x_0 é igual a 5 cm. Essa mudança ocorre devido ao cálculo do potencial baseado na distribuição de carga. Mesmo uma pequena variação na carga resulta em uma mudança

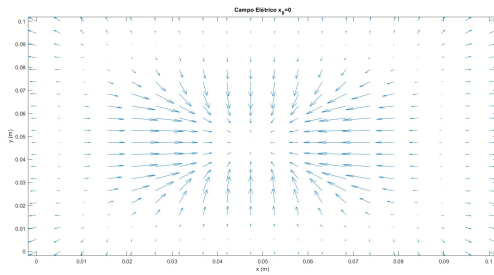


(a) Distribuição de Potencial Acima das Placas para $x_0 = 0cm$



(b) Distribuição de Potencial Acima das Placas para $x_0 = 5cm$

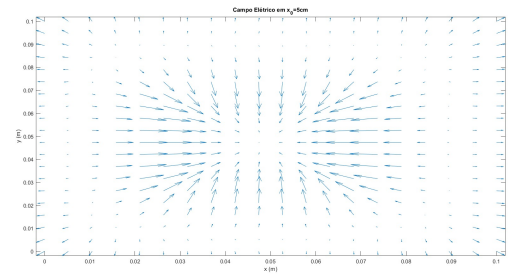
Fonte: Elaborado pelo autor.



(c) Campo Elétrico Acima das Placas para $x_0 = 5cm$

Fonte: Elaborado pelo autor.

Fonte: Elaborado pelo autor.



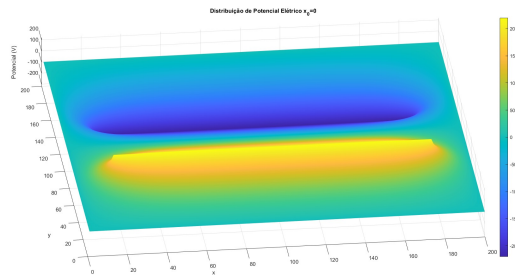
Fonte: Elaborado pelo autor.

considerável no potencial, especialmente nas áreas onde a simetria entre as placas é interrompida. Por exemplo, em x_0 , as placas mantêm uma simetria relativa, mas com a introdução de um x_0 na placa com o buraco, observamos mudanças substanciais na capacitância e na carga. Como o potencial é calculado a partir da carga, ele também sofre alterações. Consequentemente, nas regiões da placa onde a simetria com a outra placa é perdida, há uma redução notável no potencial, refletindo uma diminuição no acúmulo de cargas.

Quanto ao campo elétrico, percebe-se que não há grandes mudanças em sua configuração, o que é esperado, visto que estamos observando o campo a partir de cima da placa. As variações mais significativas ocorrem na intensidade do campo, decorrentes da queda no potencial entre um gráfico e outro.

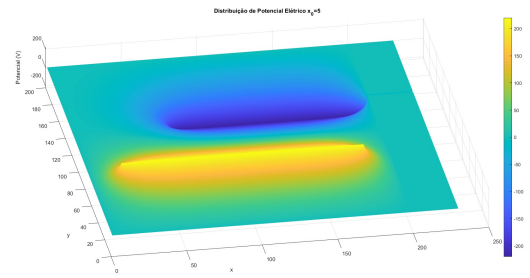
Para obter uma visão diferente das placas, explorei diversas abordagens. Para alcançar essa nova perspectiva, foi necessário utilizar um código diferente, aproveitando o meu ρ como base. Esse novo método permitiu mudar a perspectiva de análise, mantendo os parâmetros utilizados anteriormente, como a discretização, por exemplo. Essa abordagem permitiu uma compreensão mais ampla e detalhada do problema, oferecendo insights adicionais sobre o com-

portamento das placas sob diferentes condições.



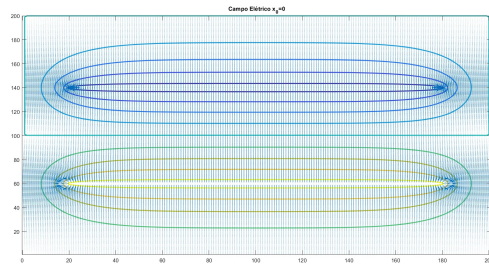
(a) Potencial Elétrico para $x_0 = 0cm$

Fonte: Elaborado pelo autor.



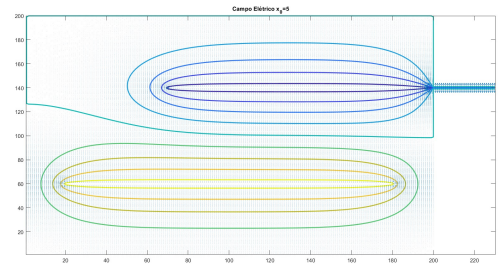
(b) Potencial Elétrico para $x_0 = 5cm$

Fonte: Elaborado pelo autor.



(c) Campo Elétrico para $x_0 = 5cm$

Fonte: Elaborado pelo autor.



(d) Campo Elétrico para $x_0 = 5cm$

Fonte: Elaborado pelo autor.

Conclusão

Ao final deste trabalho concluímos que o método dos momentos se mostra extremamente eficaz na aplicação à equação de Poisson, fornecendo uma distribuição de carga precisa para a estrutura em análise. Levando mais de mês para que fosse possível finalizar esse trabalho fica evidente que o método dos momentos é uma ferramenta valiosa para esse tipo de problema. No entanto, a grande dificuldade reside em representar a geometria do problema.

De forma resumida, foi bastante árduo, complexo e enriquecedor, mas com resultados satisfatórios, apesar de ao final utilizarmos outros métodos para concluir a questão.